

Starkniederschlagshöhen und -spenden gemäß KOSTRA-DWD-2010R

Auswertungszeitraum von 1951 - 2010, Januar - Dezember

Rasterfeld: 22017

Zeile: 22

Spalte: 17

Seite: 1/2

| Dauerstufe D | Wiederkehrzeit T | | | | | | | | | | | | | | | | | | |
|--------------|------------------|------|------------|------|------------|------|------------|------|------------|------|------------|------|------------|------|------------|------|------------|------|------------|
| | 1 a | | 2 a | | 3 a | | 5 a | | 10 a | | 20 a | | 30 a | | 50 a | | 100 a | | |
| min | Std | mm | l / (s ha) | mm | l / (s ha) | mm | l / (s ha) | mm | l / (s ha) | mm | l / (s ha) | mm | l / (s ha) | mm | l / (s ha) | mm | l / (s ha) | mm | l / (s ha) |
| 5 | | 4,6 | 153,3 | 5,9 | 196,7 | 6,6 | 220,0 | 7,6 | 253,3 | 8,9 | 296,7 | 10,2 | 340,0 | 10,9 | 363,3 | 11,9 | 396,7 | 13,1 | 436,7 |
| 10 | | 7,3 | 121,7 | 9,1 | 151,7 | 10,2 | 170,0 | 11,5 | 191,7 | 13,4 | 223,3 | 15,2 | 253,3 | 16,3 | 271,7 | 17,7 | 295,0 | 19,5 | 325,0 |
| 15 | | 9,0 | 100,0 | 11,3 | 125,6 | 12,6 | 140,0 | 14,3 | 158,9 | 16,6 | 184,4 | 18,8 | 208,9 | 20,2 | 224,4 | 21,8 | 242,2 | 24,1 | 267,8 |
| 20 | | 10,2 | 85,0 | 12,9 | 107,5 | 14,4 | 120,0 | 16,4 | 136,7 | 19,0 | 158,3 | 21,6 | 180,0 | 23,2 | 193,3 | 25,1 | 209,2 | 27,8 | 231,7 |
| 30 | | 11,9 | 66,1 | 15,1 | 83,9 | 17,0 | 94,4 | 19,4 | 107,8 | 22,7 | 126,1 | 25,9 | 143,9 | 27,8 | 154,4 | 30,2 | 167,8 | 33,5 | 186,1 |
| 45 | | 13,3 | 49,3 | 17,3 | 64,1 | 19,6 | 72,6 | 22,6 | 83,7 | 26,6 | 98,5 | 30,6 | 113,3 | 32,9 | 121,9 | 35,9 | 133,0 | 39,9 | 147,8 |
| 60 | | 14,1 | 39,2 | 18,8 | 52,2 | 21,5 | 59,7 | 24,9 | 69,2 | 29,6 | 82,2 | 34,2 | 95,0 | 36,9 | 102,5 | 40,3 | 111,9 | 45,0 | 125,0 |
| 90 | | 15,6 | 28,9 | 20,5 | 38,0 | 23,4 | 43,3 | 27,0 | 50,0 | 31,9 | 59,1 | 36,8 | 68,1 | 39,7 | 73,5 | 43,3 | 80,2 | 48,2 | 89,3 |
| 120 | 2 | 16,8 | 23,3 | 21,9 | 30,4 | 24,9 | 34,6 | 28,6 | 39,7 | 33,7 | 46,8 | 38,8 | 53,9 | 41,8 | 58,1 | 45,5 | 63,2 | 50,6 | 70,3 |
| 180 | 3 | 18,6 | 17,2 | 24,0 | 22,2 | 27,1 | 25,1 | 31,1 | 28,8 | 36,4 | 33,7 | 41,8 | 38,7 | 44,9 | 41,6 | 48,9 | 45,3 | 54,3 | 50,3 |
| 240 | 4 | 20,0 | 13,9 | 25,6 | 17,8 | 28,8 | 20,0 | 33,0 | 22,9 | 38,5 | 26,7 | 44,1 | 30,6 | 47,3 | 32,8 | 51,5 | 35,8 | 57,0 | 39,6 |
| 360 | 6 | 22,2 | 10,3 | 28,1 | 13,0 | 31,5 | 14,6 | 35,8 | 16,6 | 41,7 | 19,3 | 47,6 | 22,0 | 51,0 | 23,6 | 55,3 | 25,6 | 61,2 | 28,3 |
| 540 | 9 | 24,6 | 7,6 | 30,8 | 9,5 | 34,4 | 10,6 | 38,9 | 12,0 | 45,1 | 13,9 | 51,3 | 15,8 | 54,9 | 16,9 | 59,5 | 18,4 | 65,7 | 20,3 |
| 720 | 12 | 26,4 | 6,1 | 32,9 | 7,6 | 36,6 | 8,5 | 41,3 | 9,6 | 47,8 | 11,1 | 54,2 | 12,5 | 58,0 | 13,4 | 62,7 | 14,5 | 69,1 | 16,0 |
| 1080 | 18 | 29,3 | 4,5 | 36,1 | 5,6 | 40,0 | 6,2 | 45,0 | 6,9 | 51,8 | 8,0 | 58,6 | 9,0 | 62,5 | 9,6 | 67,5 | 10,4 | 74,3 | 11,5 |
| 1440 | 24 | 31,5 | 3,6 | 38,5 | 4,5 | 42,6 | 4,9 | 47,8 | 5,5 | 54,8 | 6,3 | 61,9 | 7,2 | 66,0 | 7,6 | 71,2 | 8,2 | 78,2 | 9,1 |
| 2880 | 48 | 40,7 | 2,4 | 48,2 | 2,8 | 52,6 | 3,0 | 58,1 | 3,4 | 65,6 | 3,8 | 73,1 | 4,2 | 77,4 | 4,5 | 83,0 | 4,8 | 90,4 | 5,2 |
| 4320 | 72 | 47,3 | 1,8 | 55,1 | 2,1 | 59,6 | 2,3 | 65,3 | 2,5 | 73,0 | 2,8 | 80,8 | 3,1 | 85,3 | 3,3 | 91,0 | 3,5 | 98,8 | 3,8 |

Angaben in mm: Bemessungsniederschlagswerte h(n)

Angaben in l / (s ha): Regenspende R(n) mit $R(n) = h(n) \times 1,666667 / D[\text{min}]$

Toleranzbereiche:

+/- 10 % für $1 a \leq T \leq 5 a$

+/- 15 % für $5 a < T \leq 50 a$

+/- 20 % für $50 a < T \leq 100 a$

Datenbasis: KOSTRA-DWD-2010R des Deutschen Wetterdienstes. Die Regenspende wurde auf Basis des Bemessungsniederschlags zur jeweiligen Andauer berechnet.

Für die Richtigkeit und Aktualität der Angaben wird keine Gewähr übernommen. Erstellt 07/2022.

Starkniederschlagshöhen und -spenden gemäß KOSTRA-DWD-2010R

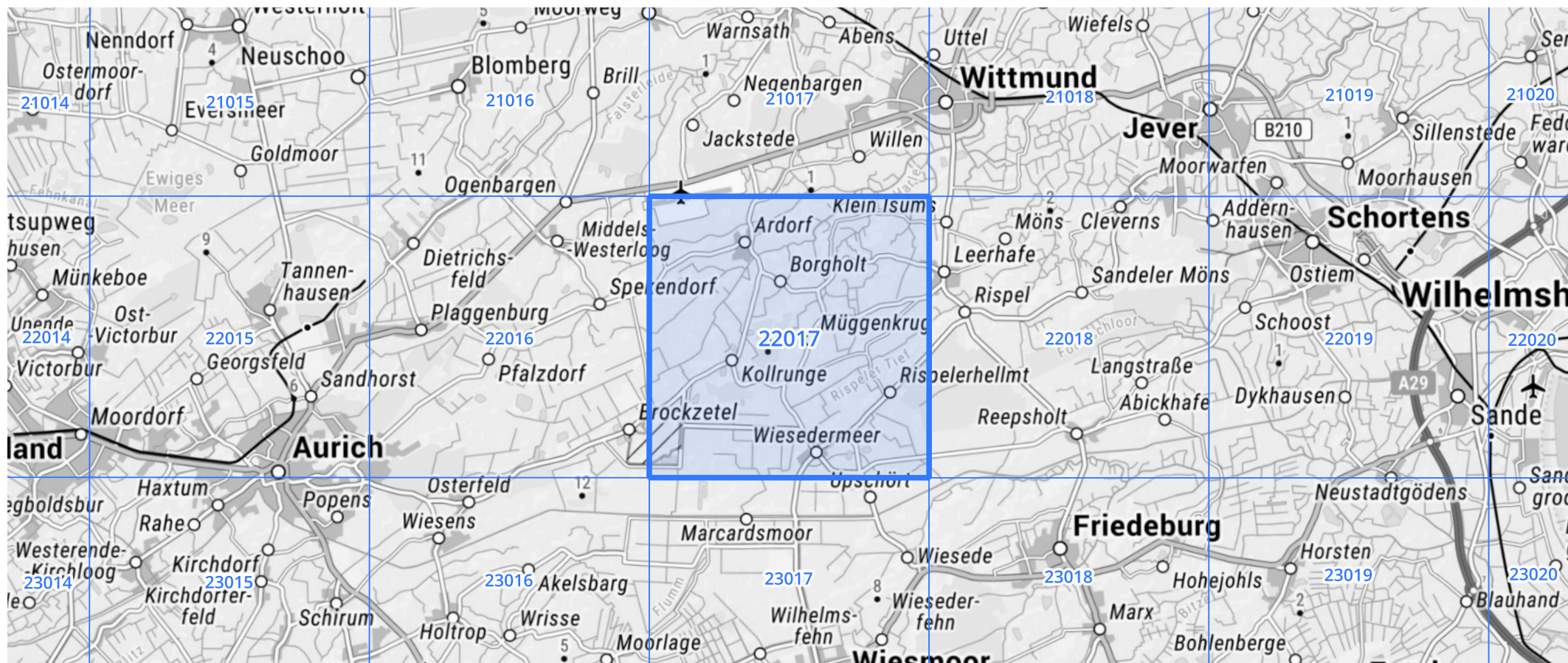
Auswertungszeitraum von 1951 - 2010, Januar - Dezember

Rasterfeld: 22017

Zeile: 22

Spalte: 17

Seite: 2/2



Quelle Rasterdaten: KOSTRA-DWD-2010R des Deutschen Wetterdienstes.

Kartendarstellung: © Bundesamt für Kartographie und Geodäsie (2022), Datenquellen: https://sgx.geodatenzentrum.de/web_public/gdz/datenquellen/Datenquellen_TopPlusOpen.html

Für die Richtigkeit und Aktualität der Angaben wird keine Gewähr übernommen. Erstellt 07/2022.